

المقدمة :

تحتلت السمات أو الملامح (Features) الموجودة في المرئيات الفضائية عن تلك الموجودة في الخريطة، وذلك لكونها لا تمتلك رموزاً تدل على هويتها. فالم Merrillات تسجل كل السمات المرئية والتي ليس بالضرورة التعرف عليها بسهولة. فالم Merrillات تحتوي على معطيات خام لاتصبح قابلة للاستخدام، إلا بعد إجراء عمليات المعالجة الرقمية للم Merrillات الفضائية (Image Processing)، من خلال تقنية الاستشعار عن بعد (Remote Sensing) والتي تعد من التقنيات الحديثة المتقدمة المستخدمة في معالجة المرئيات الفضائية. وقد استخدمت هذه التقنية ومن خلال برامجها المتقدمة كأداة علمية فاعلة في الحصول على المعلومات المفيدة وإظهار المعالم المكانية التي كانت غير ظاهرة في المرئيات الخام والتي لا تدركها أو تستطيع العين البشرية من تمييزها.

إن استخدام طريقة المعالجة من خلال الحاسوب، تمكّن المفسر من أن يستخلص المعلومات بشكل أدق مما لو استخدم عينهُ المجردة. وكذلك لضخامة كمية بيانات المرئيات الفضائية والمعلومات المستخلصة منها وتعقيد عمليات التعامل مع التخزين

المعالجة الرقمية وتفسير المرئيات الفضائية لدراسة الغطاء الأرضي في محافظة البصرة

(1973 - 2010)

أ.م. طارق جمعة المولى

قسم الجغرافية / كلية الآداب

جامعة البصرة

أ.م. د. حسن عدّايم كرم الله

قسم الجغرافية

كلية الآداب

جامعة البصرة

أ.م. د. نجم عبد الحسين نجم

قسم علم الأرض

جامعة كربلاء - كلية العلوم

يسبق ذلك إجراء طرائق المعالجات الرقمية لمعطيات الاستشعار عن بعد الآلية لمنطقة الدراسة، حتى يتم استنباط المعلومات الأزمة لتصنيف الغطاء الأرضي لمنطقة الدراسة.

منطقة الدراسة: تمثل منطقة الدراسة بالحدود الإدارية لمحافظة البصرة التي تقع بالقسم الجنوبي من الشرقي من العراق (خارطة 1) بين دائري عرض 31-35 و 31-35 و 31-35 و 31-35 و 31-35 و 31-35 كم مساحة بلغت (17760) كم².

(خارطة 1)

خارطة العراق الإدارية وموقع منطقة الدراسة



والاستدعاء والمعالجة والتحليل، وهذه الأخيرة التي يقوم بها المفسر من خلال استخلاص معلومات محددة عن تغيرات الغطاء الأرضي لمحافظة البصرة.

مشكلة البحث: إن المرئيات المرسلة من القمر الصناعي (Land Sat) تحتوي على بيانات (Data) خام لا يمكن تحليلها واستخلاص معلوماتها (Information) إلا من خلال المعالجة الرقمية بالطرق الآلية المستخدمة في متن البحث. ومن هنا جاءت أهمية البحث في اعتماد أسلوب علمي تقني آلي لأي المعالجات الرقمية هي الأفضل والخلطات اللونية المثلث القادرة على إبراز المعالم وتشخيصها واستنباط المعلومات الرقمية منها الخاصة بمنطقة الدراسة.

هدف البحث: يهدف البحث إلى تحسين جودة مرئيات القمر الصناعي (Land Sat) الخاصة بمحافظة البصرة، و ما هي أكثر المعالجات الرقمية التي تبرز المعالم الأرضية بشكل واضح لتسهيل التفسير للمرئيات قيد الدراسة، من أجل كشف ومراقبة التغيرات الحاصلة في مساحات الغطاء الأرضي واستخدام الأرض في محافظة البصرة خلال المدة (1973-2010)، عبر تقنيات المعالجة الرقمية لمعطيات الاستشعار عن بعد وإنتاج خرائط غرضية لتلك التغيرات.

فرضية الدراسة: يفترض الباحث بأنه لا يمكن استخلاص المعلومات الرقمية وقراءة وتحليل المرئيات الفضائية بدون أن

الأول: محدودية قدرة العين البشرية على ملاحظة الفروقات في المرئية الفضائية، فمثلاً عند تفسير أحاديث النطاق: Continuous-Tone والأبيض والأسود (Black and White)، فإن عين محل المرئية لا يستطيع التفريق إلا في حدود 8 إلى 16 درجة من السلم الرمادي، بينما لو كانت المرئية مسجلة على سلم رمادي ذي 256 درجة، فإنه يمكن للمفسر بالطريقة الرقمية أن يستخلص معلومات بشكل أدق مما لو استخدم عينة المجردة. والتي يمكن لعمليات المعالجة الرقمية أن توضح أو تضخم للعين البشرية الاختلافات الضئيلة ليسهل ملاحظتها.

الثاني: ضخامة كمية بيانات المرئية والمعلومات المستخلصة منها وتعقيدها مع التعامل معها في التخزين والاستدعاء والمعالجة والتحليل.

وعلى الرغم من محدودية العين البشرية للتخلص بالأنمط الطيفية، فإن للحاسوب محدودية أيضاً، في تقويم الأنماط المكانية (Spatial Patterns)، وعليه فان تقنيات التحليل البصري والرقمي تكمل أحدهما الأخرى للوصول إلى أفضل النتائج⁽²⁾.

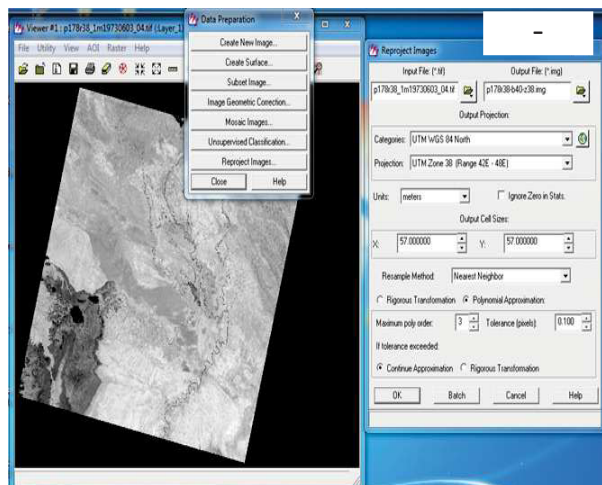
وسوف نتطرق إلى أهم المعالجات التي استخدمناها الباحث لتخدم موضوع الدراسة وهي:

تعني المعالجة الرقمية للمرئيات الفضائية (Satellite Images) التعامل مع المرئيات الفضائية وتحليلها من خلال أجهزة الحاسوب الآلي والبرامج الخاصة بتحليل المرئيات الفضائية، إذ تكون المرئيات الفضائية من شبكة (Grid) من الأعمدة Column والصفوف Path متقطعة مع بعضها مكونة خلايا صغيرة على شكل مربعات صغيرة يطلق عليها عنصر الصورة (Pixel). ويحتوي هذا العنصر على قيمة رقمية (Digital Num-DN) تمثل قيمة الإشعاع الطيفي المنعكسة أو المنبعث عن مساحة من الأرض يسجلها المحسس (Sensor) والذي يختلف حجمه تبعاً لقدرة التمييز المكاني الخاصة به مكوناً بدوره مشهداً فضائياً ممثلاً بمصفوفة رقمية تمثل قيم الإضاءة (Brightness Value)، تنحصر قيمتها بين (0 - 255) مستوى من المستويات الرمادية (Gray Scale) في نظام ثنائي ذي (Bit 8) إذ تمثل القيمة (0) الأسود أقل قيم الطاقة والرقم (255) أعلى قيمة من الطاقة (الأبيض) لذا فإن جميع المعالم الأرضية تكون شدة إضاءتها ما بين هذين اللوبيين.

ترجع أهمية معالجة وتحليل بيانات الاستشعار عن بعد رقمياً عن طريق الحاسب الآلي والبرامج المتخصصة إلى سببين⁽¹⁾:

ما يكون إلى الواقع وموحدة هندسياً مع الخرائط المستخدمة. وقد يعتبر هذا مطلباً رئيسياً عندما تم المقارنة بين عدة مرئيات فضائية وخرائط رقمية بتواريخ لسنوات مختلفة⁽⁵⁾.

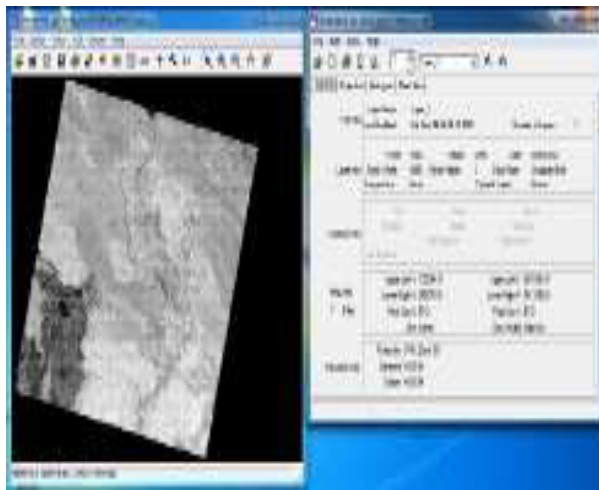
وقد طبق ذلك باستخدام برنامج معالجة المرئيات الفضائية (Erdas 9.1)، إذ تم عادة تسجيل للمرئيات الفضائية (Re-Proj ect) وفق الـ (Datum WGS 84) (j ect) ومسقط مريكتور المستعرض العالمي (UTM) وذلك لامتداد منطقة الدراسة على أربعة مشاهد فضائية ونطاقين مختلفين (Zone 38، 39) لكل من بيانات المتحسين (MSS) و (TM) و (ETM+) التابعين للقمر الصناعي (Land sat)، وعليه تطلب توحيد الـ Zone نسبة إلى 38 لأنها الـ Zone التي يضم المساحة العظمى لمنطقة الدراسة، علماً إن بعض المرئيات المستخدمة مصححة من قبل المصادر، (اللوحات 1، 2، 3).



Geometric Correction

تحتوي المرئية الرقمية الخام (Raw Image) على تشوهات هندسية بحيث لا يمكن أن نستخدمها لإنتاج الخرائط⁽³⁾. هذه التشوهات ناتجة عن تغير في ارتفاع المستشعر وتوجيهها وسرعتها وانحناء الأرض وانكسار الأشعة في الغلاف الجوي وعن ارتفاعات الأرض وتحديها ودورانها. وتطبق التصحيحات الهندسية من أجل تعديل هذه التشوهات، وذلك لجعل التعبير الهندسي للمرئية المصححة بشكل أقرب إلى الواقع، ومعظم هذه التشوهات هي تشوهات هندسية منتظمة مألوفة (Systematic) ويمكنأخذها بعين الاعتبار عبر نمذجة دقيقة لحركة المستشعر ومن خلال العلاقة الهندسية بين القمر (Satellite) والأرض. تتواجد تشوهات غير منتظمة عشوائية (Un-systematic) غير قابلة للنمذجة، وبالتالي يتوجب القيام بإجراء التوافق الهندسي بين المرئية ونظام إحداثيات أرضي معروف⁽⁴⁾.

إن الهدف النهائي من عملية التصحيح الهندسي هي جعل إحداثيات المرئية المستخدمة ذات قيمة حقيقية مطابقة لقيم أحد المراجع الجيوديسية وبالتالي الحصول على مرئية فضائية مصححة بشكل أقرب



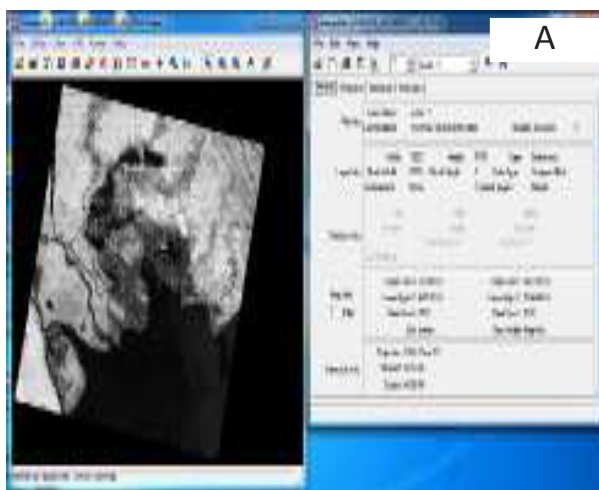
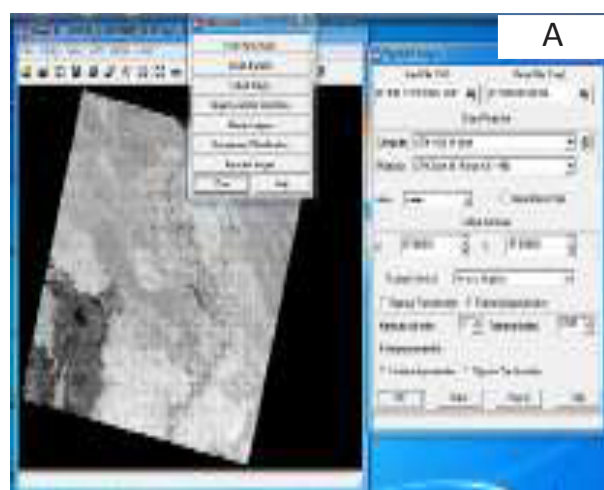
اللوحة(2) المرئية الفضائية ومعلوماتها الملقطة بالقمر الصناعي Landsat1-MSS (الحزمة الرابعة، المسار178، الصف 38، لعام 1973)(A) قبل

عملية التصحيح الهندسي

(B) بعد عملية التصحيح الهندسي



اللوحة(1) عملية تغيير المنسوب(A)(الحزمة الرابعة، المسار178، الصف 38، لعام 1973) و(B)(الحزمة السابعة، المسار165، الصف 39، لعام 1990)



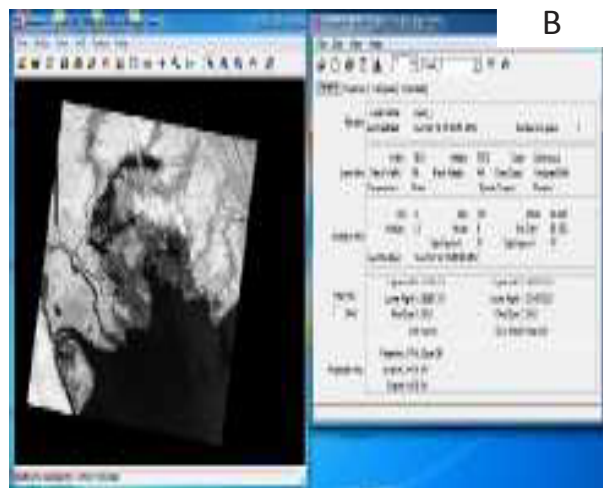
الأربعة التي تغطي منطقة الدراسة وكل حزمة طيفية (band) وعلى مدة الدراسة كافة (1973، 1984، 1990، 2000، 2010) بامتداد (img) للعمل عليها على البرمجيات المختلفة تمهدأً لقطع منطقة الدراسة منها، (اللوحات 11، 10، 9، 8، 7، 6، 5، 4) تبين مثالاً لتهيئة المرئيات الفضائية بـ(مركب لوني) قبل عملية تحويلها إلى موزائيك و (اللوحات 12، 13) بعد إجراء عملية الموزائيك.

عملية القطع : Clipping

تم إجراء عملية القطع لمنطقة الدراسة من المرئيات الناتجة من عملية الموزائيك واعتماداً على ملف تحديد منطقة الاهتمام (Aoi) *Area of Interest* وذلك لاستبعاد المناطق غير الدالة بمنطقة الدراسة (المحيطة بها)، وتتضح فائدة هذه العملية أكثر عند التعامل مع المرئيات المتعددة النطاقات ذات الحجم الكبير، حيث أن بقاء المرئية كاملة دون قطع منطقة الاهتمام يؤدي إلى مشاكل عدّة لعل أهمها:

1 - قيم الانعكاسية الطيفية التي ستدخل في حساب مستوى الانعكاسية والحد الأدنى والأعلى والانحراف المعياري والوسيط.

2 - إضافة إلى ذلك مشاكل سعة الحجم

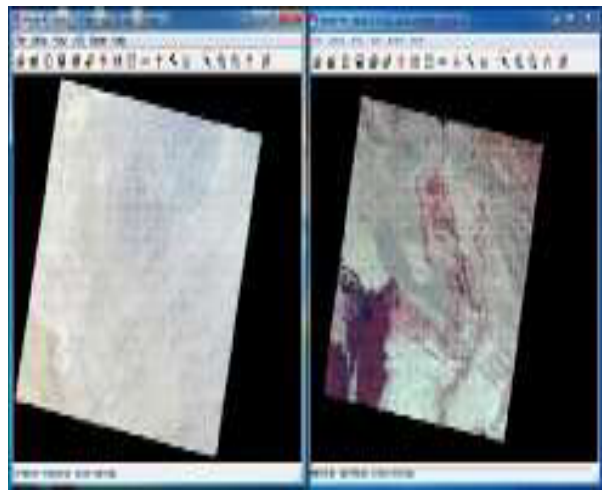


اللوحة (3) المرئية الفضائية ومعلوماتها الملقطة بالقمر الصناعي TM Landsat-5 (الحزمة السابعة، المسار 165، الصف 39، لعام 1990) (A) قبل عملية التصحيح الهندسي و (B) بعد عملية التصحيح الهندسي

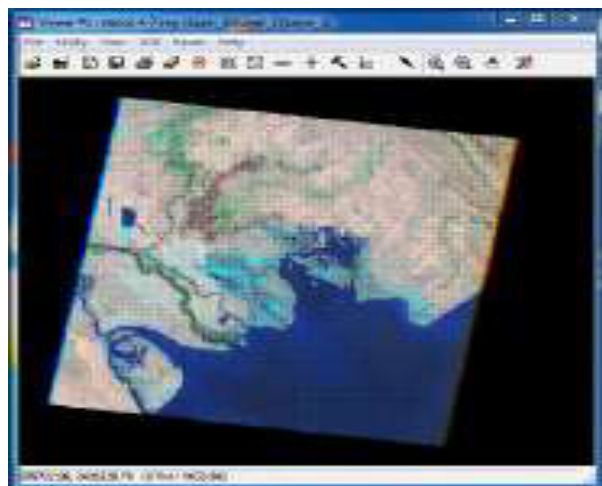
عملية الموزائيك (تجمیع المرئية)

Image Mosaic

عبارة عن ضم مشهدين أو أكثر للحصول على مرئية واحدة، وتبّرر الحاجة إلى استخدام هذه العملية عندما تكون المنطقة تحت الدراسة أو المعالجة كبيرة ويفطيها أكثر من مشهد فضائي. ونظراً لوقوع منطقة الدراسة في منطقة تداخل اللقطات للقمر الصناعي Lend sat ولأربعة مشاهد فضائية (كما ذكر سابقاً) وبامتداد (tiff)، لذلك تم عمل موزائيك (mosaic) للمشاهد



اللوحة(6) المرئية الفضائية للقمر لاندستس 1
للمتحسس MSS اللوحة(7)المرئية الفضائية للقمر
لاندستس 1 للمتحسس MSS
الحزمة(1، 2، 4) المسار -178 الصف 38 لعام 1973
الحزمة(1، 2، 4) المسار-179 الصف 40 لعام 1973



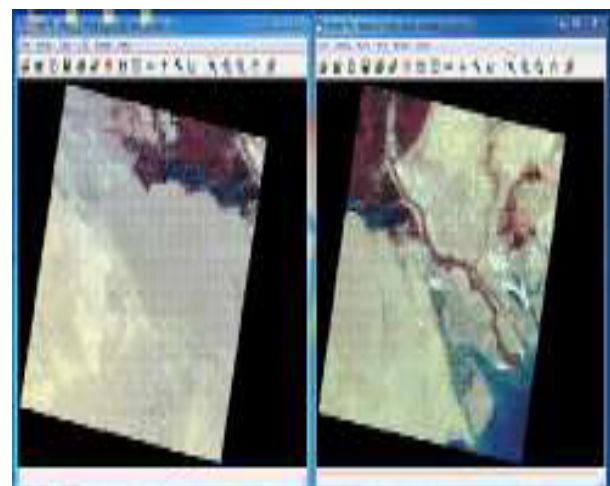
اللوحة (8) المرئية الفضائية للقمر لاندستس 7
للمتحسس اللوحة (9) المرئية الفضائية للقمر
لاندستس 7 للمتحسس
الحزمة(2، 4، 7) المسار-165 ETM +

الكبير للمرئيات المستخدمة التي تؤدي إلى تباطؤ جهاز الحاسوب عند العرض وتحريك المرئيات.

3- أضاف إلى ذلك مشاكل الوقت والجهد اللازم عند إجراء عمليات المعالجة الرقمية المختلفة.

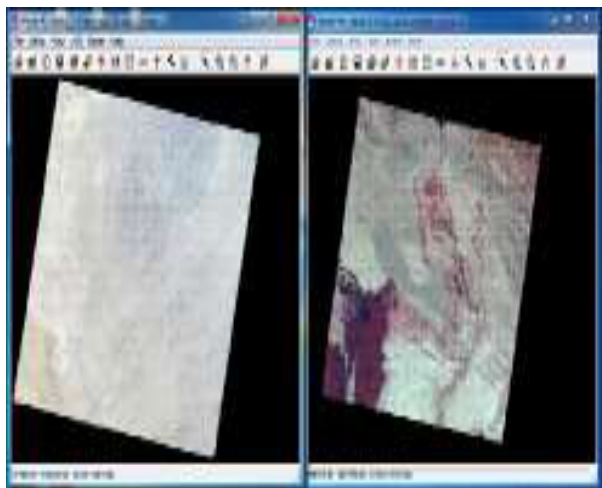
4 - وكذلك مشاكل عند حساب المساحات وتحويلها إلى (Polygons) بعد إجراء عملية التصنيف الرقمي والبصري.

5 - وتشتتت عين المفسر إلى مناطق بعيدة عن منطقة الدراسة. ينظر اللوحات(14، 15).



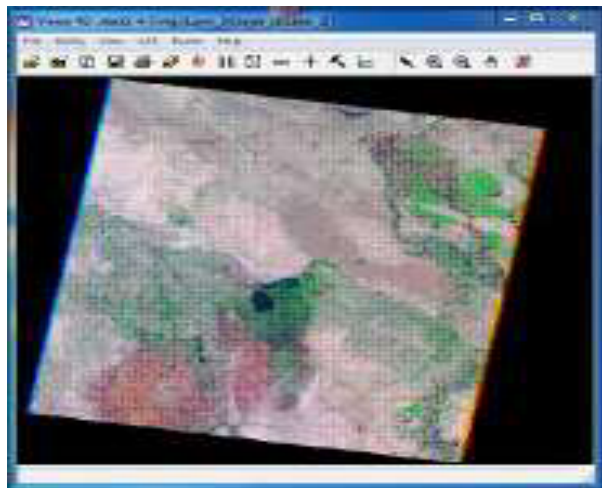
اللوحة(4) المرئية الفضائية للقمر لاندستس 1
للمتحسس MSS اللوحة(5)المرئية الفضائية للقمر
لاندستس 1 للمتحسس MSS
الحزمة(1، 2، 4) المسار -178 الصف 39 لعام 1973
الحزمة(1، 2، 4) المسار-179 الصف 39 لعام 1973

الحزمة (1، 2، 4) المسارات والصفوف
 (179/40، 179/39، 178/39، 178/38)
 لمحافظة البصرة عام 1973

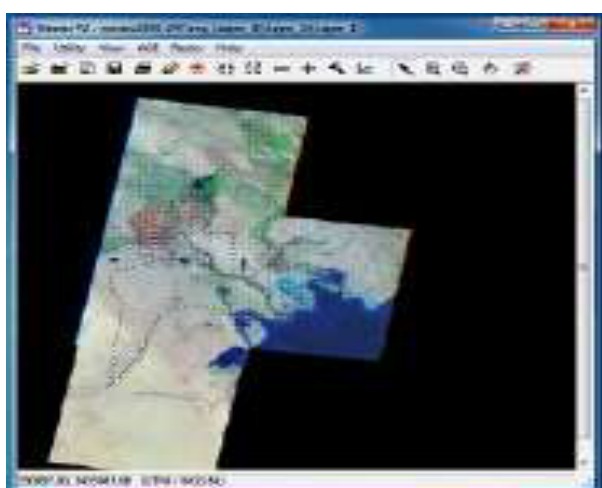


اللوحة (13) توضح عملية الموزائيك للمشاهد الأربع
 (الحزمة 1، 2، 4، 7) المسارات والصفوف
 (166/40، 166/39، 166/38، 165/39)
 لمحافظة البصرة عام 2000

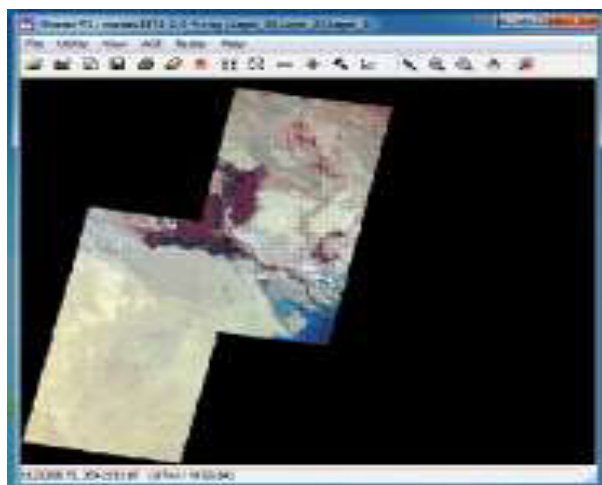
الصف 39 لسنة 2000 + ETM 7، 4، 2، 166 المسار - الصف 39 لسنة 2000



اللوحة (10) المرئية الفضائية للقمر لاندست 7
 للمتحسس اللوحة (11) المرئية الفضائية للقمر لاندست 7
 للمتحسس ETM 7، 4، 2، 166 المسار -
 الصف 38 لسنة 2000 + ETM 7، 4، 2، 166 المسار - الصف 40 لسنة 2000



اللوحة (14) توضح عملية الموزائيك للمشاهد الأربع
 إضافة (AOI) لقطع



اللوحة (12) توضح عملية الموزائيك للمشاهد الأربع

وتهيئتها للتفسير البصري لغرض استخلاص المعلومات الموضوعية منها⁽⁷⁾.

وتتم أساليب المعالجة الرقمية للمرئيات الفضائية بالاتي:

أ- أما في معالجة النقطة (Point Operation) وفيه يعالج كل عنصر من عناصر المرئية على حدة دون اعتبار للعناصر الأخرى.

ب- أوأسلوب معالجة المساحة عمليات محلية (Local Operation) وهي تعديل كل عنصر اعتماداً على قيم لمعان ما يجاورها ويستخدم للحصول على حدود أوضحلأجزاء المرئية.

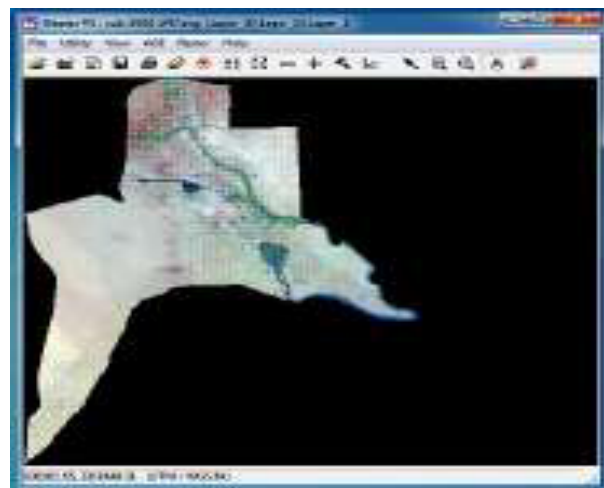
ج- أوأسلوب معالجة الإطار وهنا تكون المعالجة لمرئيتين متتابعتين على الأقل لإظهار الفرق بينهما.

ويستخدم الأسلوب الأخير في عمليات المراقبة للأجزاء المتحركة من الأرض⁽⁸⁾. إذأن معطيات الاستشعار عن بعد بشكلها الخام تكون غير قادرة في كثير من الأحيان على تلبية تحقيق أهداف مفسر هذه المعطيات ويعود هذا إلى عدة أسباب منها⁽⁹⁾:

1 - تجهيز هذه المعطيات بشكل حزم متعددة، يعني توزيع المعلومات بين هذه الحزم (Bands) وبشكل غير منتظم حيث إن كل حزمة تحتوي على معلومة هامة تختلف

منطقة الدراسة من مرئيات الموزائيك

الحزم (7-4-2) عام 2000



اللوحة (15) منطقة الدراسة للحزم (2, 4, 7) بعد قطعها من مرئيات الموزائيك لعام 2000

تحسين المرئيات الفضائية

: image enhancement

إن الهدف الرئيس من تحسين المرئيات الفضائية هو من أجل تسهيل التفسير البصري للمرئية الفضائية قيد الدراسة وجعلها أكثر ملائمة لتفسير الأهداف والمعالم الأرضية من المشهد الأصلي، وذلك من خلال زيادة التمييز بين معالم المرئية الفضائية⁽⁶⁾. ويمكن تطبيق مختلف الأساليب لتحسين المرئية الفضائية وذلك باستخدام عدة خوارزميات خاصة بالحاسوب من خلال برمجيات مختلفة لتعزيز تباينها

غير جيد وعليه تحتاج لمثل هذه المعالجة⁽¹¹⁾. وذلك لأن أجهزة الاستشعار عن بعد يتم تصميمها لكي تراقب في كل (band) أو تسجيل نطاق واسع من المشاهد المميزة بنقاط الشاشة (Pixels) ذات الانعكاسية المنخفضة للمسطحات المائية إلى الانعكاسية العالية جداً للجليد والرمال، وهذا من شأنه أن يؤدي إلى التناقض بين هذين النوعين من المواد عند تسجيلها من قبل نظام الاستشعار عن بعد. وكذلك في كثير من الأحيان تعكس معالم مختلفة على سطح الأرض كميات مماثلة من الانعكاسية في جميع أجزاء المرئية بالقرب من الأشعة تحت الحمراء والأشعة تحت الحمراء المتوسطة من الطيف الكهرومغناطيسي، مما يؤدي إلى مرئية منخفضة التباين نسبياً⁽¹²⁾. إذ يتم حصر الـ Pixels (عناصر المرئية) للمشهد في نطاق ضيق من القيم الرقمية (DN) بعيداً عن المقياس الراديومترى (نطاق التكميمية quantization) التام في الحالات النموذجية والذي يتراوح من (0-255) في نظام الـ 8 bit. ومن ثم فإن هذا ينتج مرئية ذات تباين منخفض، بالإضافة إلى ذلك نقاط الشاشة المشغولة بكل مواد الطبيعية الإحيائية physical bio value (قيم الانعكاسية) منخفضة في الجزء المرئي بالقرب من الأشعة تحت الحمراء من

عن الحزم الأخرى .

2 - وجود ترابط خطى (Linear Correlation) بين هذه الحزم مما يؤدي إلى عدم استغلال كفاءتها في التفسير البصري، لأن الترابط في اغلب الأحيان يؤدي إلى عدم ظهور الفروقات البسيطة في الخصائص الطيفية لبعض من أغطية الأرض .

3 - قدرة العين البشرية المحدودة نسبياً للتمييز بين المستويات الرمادية المتقاربة وحتى بين الألوان المتقاربة. لذا يلجم المفسرون في اغلب الأحيان لاستخدام طرائق المعالجة الرقمية التي تتضمن عدة تقنيات تهدف إلى زيادة الفوارق البصرية بين المعالم الأرضية في المرئية الفضائية، بغية إيجاد مرئيات حديثة من معطيات المرئيات الأصلية لزيادة كمية المعلومات التي يمكن تفسيرها وتسهيل جمعها عن سطح الأرض⁽¹⁰⁾. ويوجد الكثير من عمليات التحسين واقتصرت الدراسة على بعض منها وهي:

تحسين التباين Contrast Enhancement :

تعد تقنية تحسين التباين من أكثر التقنيات استخداماً في مجال تحسين المرئيات، إذأن كافة المرئيات المنتجة بسلسلة أقمار (Land sat) تكون ذات تباين

ولدورهما الفعال في تحسين رؤية وإبراز المعالم الأرضية لمنطقة الدراسة.

1-أسلوب البسط الخطى Liner stretch

وهو عبارة عن مد أو توسيع قيم سطوع المرئية المدخلة (الأصلية) بالاستفادة من المدى الكلي لقيم السطوع المتوفرة لجهاز العرض. ويطلق على هذا النوع (المط) من $\text{min} - \text{max}$ الحد الأدنى إلى الأقصى stretch بسبب إن نطاق الـ DN للمرئية الحقيقية (من الحد الأدنى للقيم إلى الحد الأقصى) يتم توسيعه وتمديده في الحاسوب ليملئ مدى النطاق المتاح من (0 - 255) ليضم 256 مستوى رماديًا⁽¹⁵⁾. أما متوسط المدى الحقيقي فيأخذ القيمة (127) في المقياس الجديد. الشكل (1).

وان الهدف من ذلك حتى يكون هناك مدى تباين واسع بين وحدات المرئية لتظهر قدرًا أكبر من تفاصيل الظواهر الجغرافية ليسهل تميزها والتعرف عليها بصرياً، وبعد تطبيق طريقة نشر التباين (stretch) لزيادة هذا التباين مطلب أساسى لجميع مرئيات الاستشعار عن بعد المحسنة وغير المحسنة⁽¹⁶⁾.

أن الدالة المستخدمة في هذه الطريقة هي دالة خطية يمثلها النموذج التالي:

الطيف معطية علواً في المرئية ذات التباين المنخفض⁽¹³⁾. وكذلك يوجد عاملاً إضافياً يساهم في التباين المنخفض للمرئيات الفضائية وخاصة في الدول النامية هي تشابه العوامل الحضارية، فعلى سبيل المثال تستخدم في البناء في كثير من الأحيان مواد البناء الطبيعية (مثل الخشب والرمل والطمي والطين). وهذا يمكن أن يتسبب في تشابه خصائص الانعكاسية الطيفية بين المناطق الحضرية والريفية⁽¹⁴⁾.

لذلك فإن نتائج هذه المرئيات تكون منخفضة التباين نسبياً مع سطوع القيم الأصلية والتي غالباً ما تتراوح من (0-100) تقريباً في المقياس الرمادي يصعب على المفسر من خلالها القدرة على التفريق بين المعالم المختلفة ذات قيم سطوع المتقاربة، لذلك يهدف بسط التباين إلى توسيع المدى الضيق لقيم اللumen الموجودة في المرئية الأصلية على مدى أوسع من القيم الرمادية وتكون النتيجة مرئية جديدة تم تصميمها لإبراز التباين بين المعالم الأرضية بوضوح. يتم تحسين التباين على المرئيات الفضائية من خلال استخدام الحاسوب والبرمجيات الخاصة بتحليل المرئيات الفضائية، وقد تم استخدام برنامج (Erdas 9.1) في تطبيق بعض طرق تحسين التباين بنوعيه الخطى واللخطى كونهما أعطيا النتائج المبتغاة

فيها تغيير (هستوكرام) لمرئية معينة ليطابق (هستوكرام) مرئية أخرى عن طريق تكوين جدول مرجعي يعرف بجدول البحث (Lookup table) يحول مدى وقيم سطوع المرئية المدخلة إلى مدى وقيم سطوع مقاربة للمرئية المرجعية، إن هذه العملية مفيدة عندما نريد أن نعمل مطابقة بين مرئيتين تتلاقياً يراد تجميعهما (Image Mo-saic)، أو عندما نريد مطابقة بين مرئيتين تقطي نفس المنطقة، وبينهما اختلاف بسيط في قيم السطوع نتيجة للعوامل الجوية أو التغير في زوايا ميلان الشمس بفرض تحديد التغيرات (Change Detection) التي طرأت في هذه المنطقة خلال فترة معينة، أو لأي غرض آخر⁽¹⁸⁾.

إن تلك المرئيات المحسنة (اللوحات 16, 17, 18) تأخذ بنظر الاعتبار الاختلافات الضئيلة في معطيات المرئية من خلال التباين في الشدة اللونية، إذ تظهر المعالم ذات الشدة اللونية الفاتحة أوضاعاً والمعالم ذات الشدة اللونية الداكنة أوضاعاً أيضاً للوصول إلى التعبير المناسب والتباين في المرئية مما يتيح فرصة أفضل في عملية التفسير الأولى للمعالم الأرضية المشكّلة للحزم⁽¹⁹⁾.

2 - أسلوب البسط المتتساوي

الهستوكرام equalized histogram stretch.

$$Dno = \frac{255(DNi - DN_{min})}{(DN_{max} - DN_{min})}$$

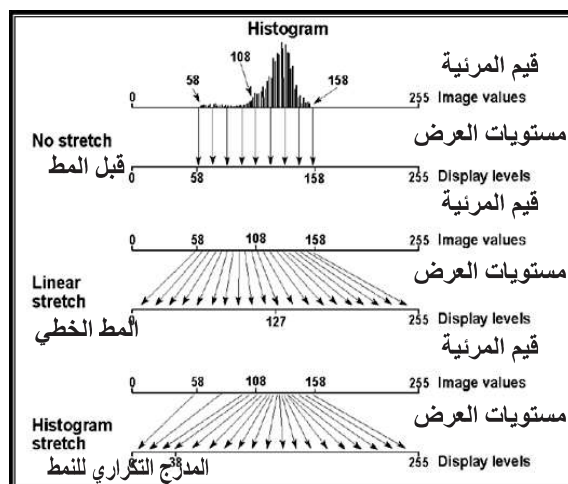
حيث أن DNo = العدد الرقمي المخرج لوحدة الصورة

DNi = العدد الرقمي في البيانات المدخلة

DN_{min} = أقل عدد رقمي في البيانات المدخلة

DN_{max} = أقصى عدد رقمي في البيانات المدخلة

الشكل (1) مبدأ التحسين ببساطة التباين



المصدر: 6- ILWIS 3.0 Data, Users Guide, Chap

المصدر: 6- ILWIS 3.0 Data, Users Guide, Chap

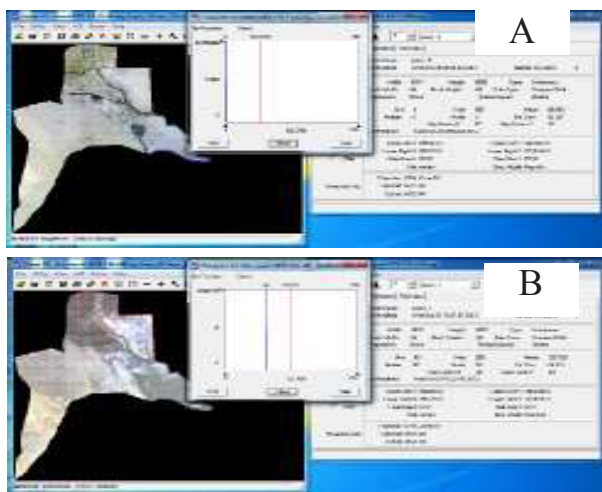
يمكن مطابقة الـ (هستوكرام) (Histogram Matching) وهي عملية يتم

أي قيم الإضاءة المسجلة تكون قريبة من الصفر، أو تكون المرئية عالية الإضاءة (ناصعة) أي إن قيم الإضاءة تكون قريبة من 255، لذا فإن هذه الطريقة توزع قيم الإضاءة من جديد⁽²²⁾، مما يؤدي إلى تباعين واضح بين الظواهر ويساعد على التحسين في تمييز مظاهر الغطاء الأرضي لمنطقة الدراسة في المرئية المخرجة.

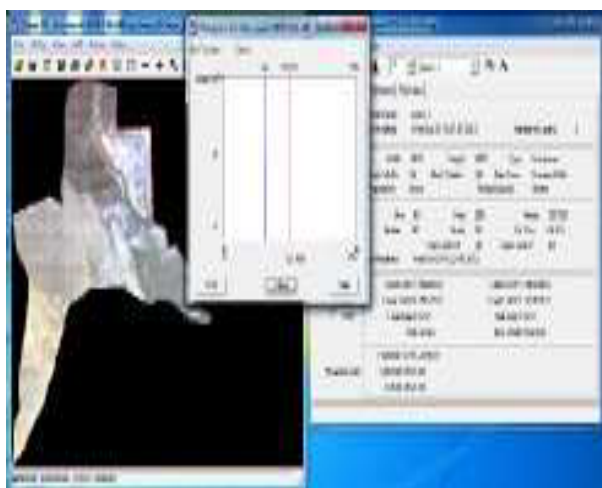
ومما تجدر الإشارة إليه إن تفسير المرئية المخرجة هذه لا تتبع القواعد المستخدمة في تفسير المرئية الأصلية أو المبسطة خطياً (Liner stretch) وذلك لأن قيم الانعكاسية الناتجة لا تناظر قيم الانعكاسية في المرئية الأصلية أو المبسطة.



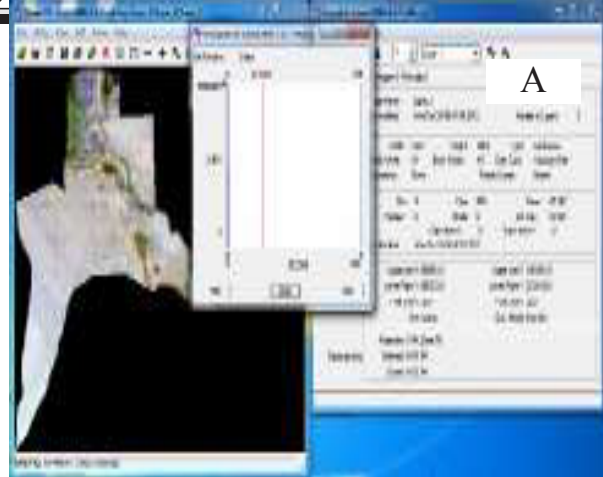
من عيوب الطريقة السابقة الذكر (البسط الخطي)، انه يُخصص عدداً من المستويات لعرض القيم النادرة في المرئية، يساوي عدد القيم المتكررة، ففي الشكل (اللوحة 16) مثلاً تم حجز نصف المدى الحركي من جهاز العرض (0 حتى 127) لعدد قليل من عناصر الصورة، التي تتراوح قيم معطيات مرئيتها بين (60 - 108)، واقصر الجزء الأكبر من المعطيات المرئية القيم (109 - 158) على نصف خرج مستويات العرض (128 - 255)، لذلك فهو لا يزودنا بالعرض الأكثر تعبيراً عن المعطيات. ولتحسين هذه الحالة يمكن إجراء ما يسمى بـالبسط المتساوي الهستوكرام، إذ إن في هذه الطريقة تم التباعين في قيم المرئية الفضائية استناداً إلى تكرار وجودها فتخصيص قيم عرض للجزء الأكثر تكراراً من الهستوكرام ويحتفظ بالجزء الصغير لقيم المرئية الأقل تكراراً⁽²⁰⁾. وبهذا الشكل سيتم تحسين تفاصيل هذه المناطق بشكل أفضل من تفاصيل المناطق التي يكون قيم تكرارها على المرئية قليل وذلك عن طريق نشر شدة الإضاءة بحيث تغطي كامل المقياس الرمادي من (0 - 255) بدلًاً من حصرها في المدى الضيق لها⁽²¹⁾. أن تسجيل البيانات الفضائية في مدى ضيق يعود إلى عوامل مختلفة منها الإضاءة القليلة بحيث تكون المرئية معتمة،



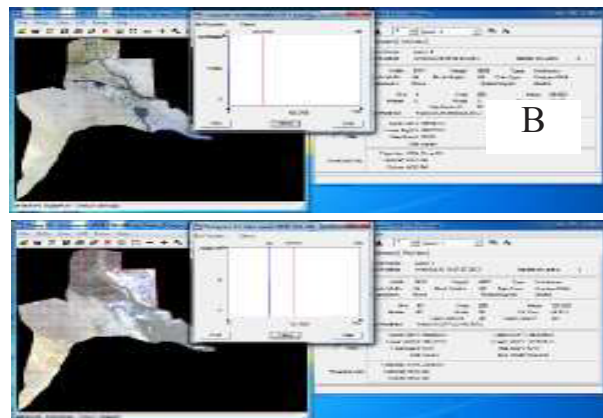
اللوحة (18) المرئية الفضائية للقمر الصناعي
لأندسات-1 (3,5,7+7ETM) عام 2000 ومدرجاها
التكراري(A) الخام قبل إجراء تقنية البسط
الخطي(B) بعد إجراء تقنية البسط الخطى



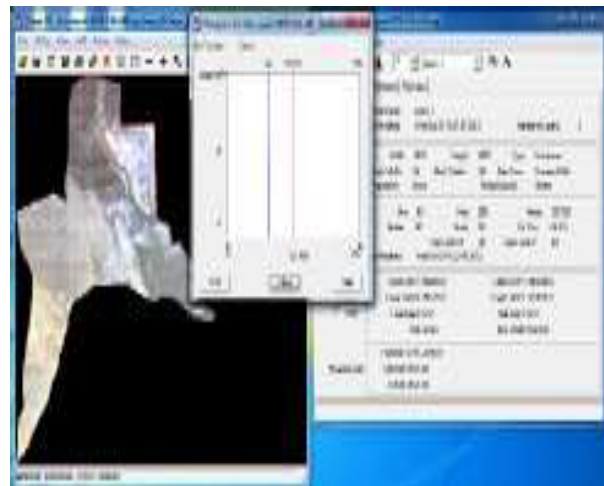
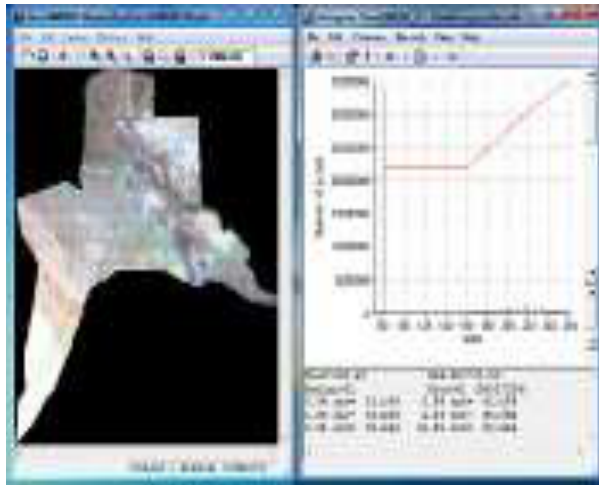
اللوحة (19) المرئية الفضائية ومدرجاها التكراري
للقمر الصناعي لأندسات-1- للمتحسن MSS
القنوات(1, 2, 4) عام 1973 بعد إجراء تقنية
البسط المتساوي المستوكرام



اللوحة (16) المرئية الفضائية للقمر الصناعي
لأندسات-1 (1,2,4) عام 1973 ومدرجاها التكراري
(A) الخام قبل إجراء تقنية البسط الخطى (B) بعد
إجراء تقنية البسط الخطى

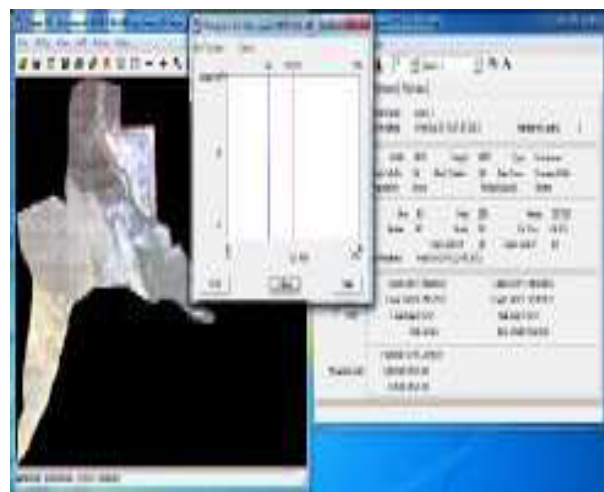
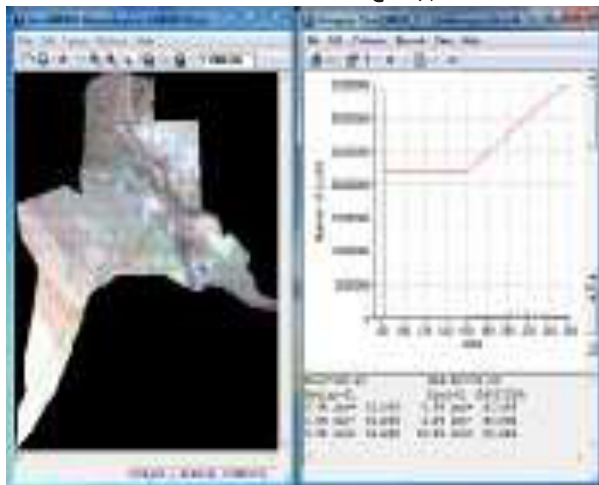


اللوحة (17) المرئية الفضائية للقمر الصناعي
لأندسات (2,4,7-5TM) عام 1990 ومدرجاها
التكراري (A) الخام قبل إجراء تقنية البسط الخطى
(B) بعد إجراء تقنية البسط الخطى



اللوحة (22) المرئية الفضائية ومدرجها التكراري
للقمر الصناعي لاندستات-5 - للمتحسس TM
القنوات (2,4,7) عام 1990 بعد
إجراء تقنية البسط المتساوي المستوكرام باستخدام
برنامج ILWIS v3.7.

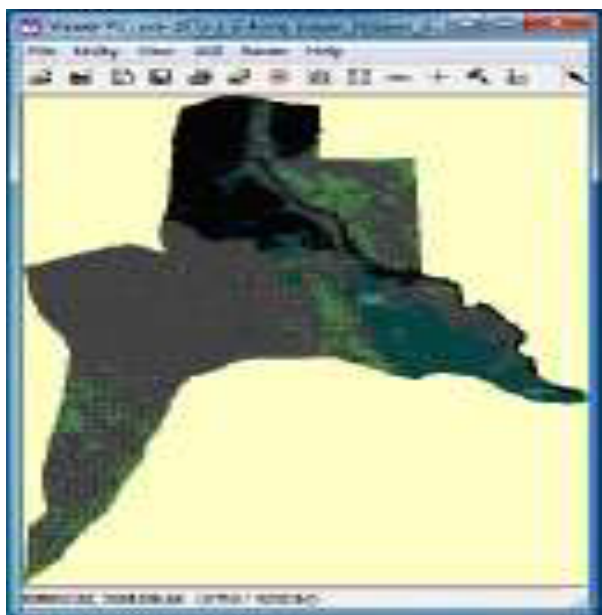
اللوحة (20) المرئية الفضائية ومدرجها التكراري
للقمم الصناعي لاندساسات 5- للمتحسس TM
القنوات (2,4,7) عام 1990 بعد إجراء تقنية
البسط المتساوي المستوكيرام



اللوحة (23) المرئية الفضائية ومدرجها التكراري
للقمر الصناعي لاندستات-7 - للمتحسس ETM+
القنوات (7,5,3) عام 2000
بعد إجراء تقيية البسط المتتساوي المستوكرام
باستخدام برنامج ILWIS v3.7.

اللوحة (21) المرئية الفضائية ومدرجها التكراري
للقمر الصناعي لاندستات 7 - للمتنس $+ETM$
الفنوات (3,5,7) عام 2000 بعد إجراء تقنية
البسط المتساوي المستوكرام

متجزئاً إلى أجزاء تفقد الاستقرارية. ومع ذلك فإن هذه العملية يمكن أن تستخدم في تخفيف الضجيج إضافة إلى تبسيط عملية المعالجة والتصنيف وإجراء كل منها في وقت قصير نسبياً⁽²⁵⁾.



اللوحة (24) المرئية الفضائية العائدة للقمر الصناعي لاندستات-1 MSS
القوّات (1، 2، 4) عام 1973 بعد إجراء تقنية شرائح المستويات (5 مستويات)

طريقة التقسيم النطaci level slicing

: stretch

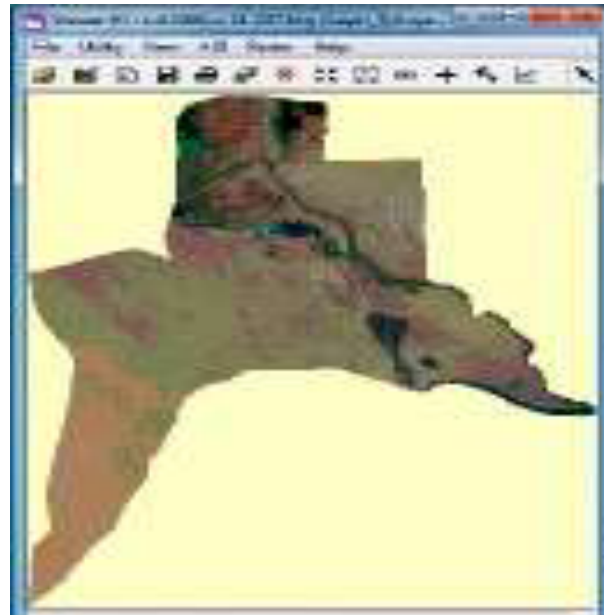
وهي تقنية أخرى للتحسين والتي يتم فيها توزيع قيم المرئية إلى أقسام على مستويات مختلفة تتفق مع طبيعة الانعكاس الطيفي للظاهرات التي تحتويها المرئية لكي يسهل التمييز بين النبات والتربة والمسطحات المائية وغيرها من مظاهر الغطاء الأرضي، إذ إن من المعروف أن لكل ظاهرة مستوى معيناً من الانعكاس الطيفي⁽²³⁾، ثم تعرض كل الأعداد الرقمية التي تقع ضمن حدود إحدى الفوائل في المرئية المدخلة للتحسين على أنها عدد رقمي واحد في المرئية المخرجة بعد التحسين وينجم عن ذلك ظهور مرئية فضائية على شكل خارطة خطوط التساوي (خارطة كنتورية) تحتوي على تدرج بمستويات رمادية مختلفة (حسب الأعداد التي يقررها الباحث)⁽²⁴⁾.

ويمكن أيضاً إظهار كل مستوى أو شريحة بلون خاص به (اللوحات 24, 25, 26) وبذلك يتم الحصول على خريطة موضوعية (Thematic map)، إلا أن سلبية هذه التقنية هي ضياع بعض التفاصيل، إذ أن التدرج المستمر من (0 - 255) الذي كانت عليه البيانات الأصل يصبح متقطعاً أو

معالجة الخطوط السوداء في مرئيات + Land sat 7 ETM :

ظهرت الخطوط السوداء في المرئيات الفضائية لبيانات المتخصص ETM + بسبب تعطل خط المسح (اللاظف) بالمتخصص يوم 31 / 5 / 2003، مما أدى إلى ترك بعض الفجوات في مشاهد التصوير. وتعطل أحدى اللواطف والذي نتج عنه تنتج سلسلة من القيم الرقمية الصفرية والتي يتم إظهارها على شكل خطوط سوداء في المرئية الفضائية، إذ تحتوي هذه المرئيات ما نسبته (21%) من الخطوط السوداء (SLC - OFF)⁽²⁶⁾.

وقد تم تحسين هذه المرئيات بمعالجة الخطوط السوداء باستخدام برنامج تحليل المرئيات الفضائية ومعالجتها (Envi 4.7)، والتي تقوم على إعطاء البرنامج معلومة وهي إن أي خلية (pixel) ذات قيمة (DN) تساوي صفر (الخط أو السطر المعيب)، باستنتاج حساب وسطي (إيجاد المتوسطات) قيم الخلايا pixels المحيطة بالخلية المعطوبة. بمعنى آخر يتم حساب القيمة الرقمية للبكسل الموفق في خط المسح السابق وخط المسح اللاحق ليتم بعد ذلك وضع القيمة الوسطية هذه كقيمة للبكسل المعيب أو المعطوب والنتيجة ستكون محسنة بشكل كبير نسبيا⁽²⁷⁾. وتم هذه العملية على كل حزمة طيفية (Band) بشكل منفصل، إذ أنها تعطي نتائج أدق وأفضل. اللوحة (29) وقد



اللوحة (25) المرئية الفضائية العائدة للقمر الصناعي لاندست5- TM



اللوحة(26) المرئية الفضائية العائدة للقمر الصناعي لاندست7- ETM + القنوات(7, 2, 4) عام 2000 بعد إجراء تقنية تقنية شرائح المستويات (9 مستويات)

تغيرات الغطاء الأرضي، وان البكسل (pixel) المنتج بهذه الطريقة يكون قريب من الواقع، كما لوحظ أيضا عدم وجود فروق بصرية ملحوظة محرفة عن البكسل في تطبيقات كشف التغير، وما يقرب من (86.2%) من البكسل من هذه المرئيات تكون صالحة للاستعمال. وأضاف التقرير في نهايته بعد تصحيح المرئية من الخطوط السوداء ستكون 90% صالحة وتبقي 10% من قيمة البيانات الجديدة تماما.

وقد قام الباحث بحساب مساحات الخطوط السوداء من خلال برنامج Arc (map 10) على إحدى مرئيات منطقة الدراسة لعام 2010 اللوحة (29) وهي الحزمة الخامسة (r39 / pl66) والتي تغطي ما نسبته 70% من مجمل مساحة محافظة البصرة الجدول (1).

اضطر الباحث الى استخدام هذه الطريقة بسبب عدم توفر مصدر آخر من مرئيات القمر Land sat لعام 2010 خلال المدة المحدودة للبحث. والتي يعتقد الباحث انه حصل على نتائج معالجة جيدة بهذه الطريقة وإعادة القيم الرقمية المفقودة، حيث أعطت المرئية وضوح مكاني أفضل مما كانت عليه في السابق.

ولتقييم هذه المرئيات المعالجة فقد قام مجموعة علماء من دائرة المسح الجيولوجي الأمريكية (Nasa) وفريق العلوم لـ (Land sat 7) بتقييم المرئيات وصلاحيتها العلمية للاستخدام في البحث العلمي⁽²⁸⁾، حيث أجمعوا إن البيانات المنتجة بعد عمليات التحسين الراديمترية والهندسية هي ذات فائدة كبيرة وهامة للتطبيقات العلمية وهذه المعالجة التي تجري عليها لا يقلل من القيمة العلمية لها.

ومما تجدر الإشارة إليه إن المرئيات التي توجد فيها الخطوط السوداء تحتوي على مساحة تصل إلى (38.6 كم²) في وسط كل سطر في وسط المرئية من مساحة تعطية المشهد للأرض سليمة أي خالية من الخطوط السوداء. وأضاف التقارير أن نوعية هذه المرئيات هو ممتازة ولا تزال تستخدم لأغراض كشف التغير للفضاء الأرضي، إذ ما يقرب من (79.4%) من بكسل المشهد صالحة للاستخدام في تطبيقات

اللوحة (30) المرئية الفضائية المسار 166 / الصف
للقمر لاندست / المتخصص ETM+ لعام 2010

القناة (5) (A) قبل إجراء تصحيح للخطوط السوداء
و (B) بعد إجراء عملية تصحيح للخطوط السوداء

التحسين بتقنية خلط الألوان:

Color composite

تساهم تقنية التحسين بخلط الألوان في تسهيل وتسريع عملية التفسير البصري للمرئيات الفضائية، فالعرض الملون للمرئيات تعطي قدرة تمييز للباحث على إمكانية الدلالة على الأشياء والتعرف عليها. إذ أنها تساعد في تمييز أنواع الغطاء الأرضي مثلاً er Academic publisheds dordrech ملك سعود، 2007، شورة، جامعة تكريت، كلية الاداب، 2004، ص 38 - 39 بشكلٍ جيد وذلك من خلال الاختلافات اللونية التي تعكسها العناصر الأرضية. حيث إن تمييز الظواهر السطحية في المرئيات الملونة أفضل من المرئيات غير الملونة (أو الرمادية)، وذلك لأن بعض الظواهر السطحية تعطي انعكاسات طيفية متشابهة خلال المرئيات غير الملونة (الأسود، الأبيض والرمادية) ⁽³⁰⁾. ومن جانب آخر عند المعاينة البصرية واستكشاف عالم المرئية وما تحتويه من عوارض (Features) وتفسيرها بصرياً

جدول (1)

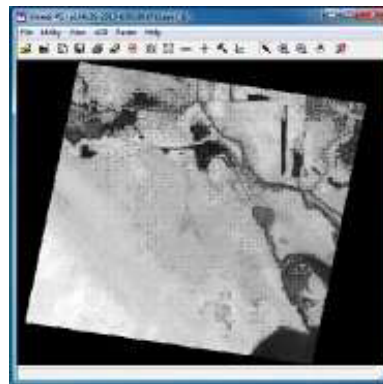
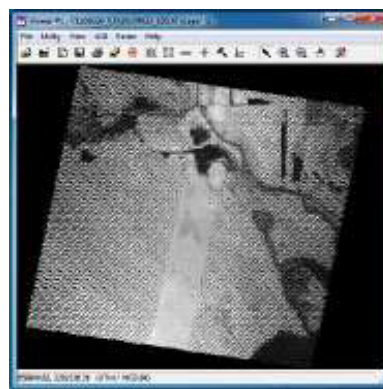
مساحة الخطوط السوداء ومساحة المنطقة الوسطى

السليمة ومساحة المستويات السليمة

الخطوط السوداء	مساحة المنطقة الوسطى السليمة	مساحة المستويات السليمة	المساحة الكلية
7010.34	4674.96	23926.2	35611.5
19.685%	80.315%	67.187	% 100

المصدر: عمل الباحث بالاعتماد على برنامج Arc map 10

فقد تبين من الجدول أعلاه إن مساحة الخطوط السوداء في هذا المشهد من منطقة الدراسة تشكل (19.685%) في حين احتلت المنطقة السليمة مساحة 80.315 %، وهي نسبة مقاربة للنسبة في التقرير السابق .



الخضراء) في قناة اللون الأخضر وصورة Band 3 صورة الأشعة الحمراء) في قناة اللون الأحمر⁽³⁰⁾.

وبإضافة إلى ذلك يمكن إعداد مرئية تظهر المعالم الأرضية بالألوان الزائفة False color composite (Fcc)، إذ يخصص اللون الأحمر إلى الأشعة تحت الحمراء القريبة واللون الأخضر إلى الأشعة الحمراء، فيما يخصص اللون الأزرق للموجات الخضراء مثل ظهور النبات الطبيعي باللون الأحمر والأزرق.

تم استخدام هذه التقنية لزيادة التفسير البصري لمعالم المرئيات الفضائية المستخدمة للدراسة. إذ ترجع أهمية هذا الأسلوب إلى إن قدرة العين البشرية على تمييز الاختلافات اللونية ودرجة تشبع كل لون أعلى من قدرتها على الإحساس بالاختلافات في درجات القيم الرمادية (Gray scale) في حالة المرئية أبيض وأسود⁽³¹⁾.

ومن الجدير بالذكر إن القنوات الأقل ارتباطاً فيما بينها هي أكثر القنوات قدرة على تحديد الاختلافات الموجودة على سطح الأرض. إذ أن القنوات تكون دائمًا عالية الارتباط مهما اختلف نوع البيانات الرقمية للأقمار الصناعية، وهذا يشير على وجود صفة التشابه وتكرار المعلومات في حالة قنوات البيانات الرقمية. فتجديد القنوات

Visual Interpretation) فإن المستفيد يلجأ إلى اختيار ثلاثة نطاقات (Bands) من بين مجموعة نطاقات المرئية لكي يعرضها بتشكيل لونية (color composite) من بين عدة تشكيلات لونية متعارف عليها، ولكل منها فوائد واسخدامها. وهذه التشكيلة مكونة من ثلاثة ألوان (الأحمر والأخضر والأزرق) (RGB) وهذا راجع إلى أن هذه الألوان تمثل الألوان الأساسية الطبيعية (Natural pri-mary colors) ومنها تتكون كل الألوان والأجسام والأهداف والمعالم في الطبيعة للطيف المرئي.

ومن الجدير بالذكر إن اغلب أجهزة الاستشعار عن بعد في برامج التصوير الفضائي لا تعطي صوراً للأشعة الزرقاء. ويعود جهاز الماسح الموضوعي TM وجهاز الماسح الموضوعي المحسن ETM+ التابعين لسلسلة الأقمار الصناعية الأمريكية Land sat، من الأجهزة القليلة التي استخدمت جزئياً موجات الأشعة الزرقاء للتصوير إذ يشتراك النطاق الأول (Band 1) لهذين الجهازين على تسجيل الاشعتين الزرقاء والخضراء جزئياً، ولذا فإن استخدام مركب الألوان لنطاقات مرئية الماسح الموضوعي TM يعطي صورة ملونة بألوان شبه حقيقة وذلك بوضع صورة Band 1 في (قناة اللون الأزرق) وصورة Band 2 (صورة الأشعة

وبناءً على هذه الطريقة ستكون الرتبة الأولى هي مرئية مركبة الألوان لل نطاقات (Bands) التي تعطي أعلى قيمة لمعامل المؤشر الأفضل ($OIF^{(34)}$) لأن هذا المؤشر مبني على التحليل الإحصائي للتباين (band variances) والمضاهاة (correlations) بين بيانات نرم المرئية، ويستدل على التباين (Vari-ances) بقيم الانحراف المعياري لنطاقات المرئيات، بينما تدل قيم معامل الارتباط بين نطاقات المرئيات على عدم التكرار في البيانات (Data Redundancy) . وعليه فان أعلى قيمة لمعامل المؤشر الأفضل OIF سيتم الحصول عليها من النطاقات الثلاثة التي يكون التباين الكلي (total Variance) فيها عالي وتكون معاملات الارتباط بينها منخفضة⁽³⁵⁾.

وبناءً على المعادلة السابقة فقد برز المركب اللوني للحزم الطيفية حسب المتحسينات، والتي كان فيها أعلى قيمة لمعامل المؤشر الأفضل (OIF) والتي أعطت تميزاً أفضل للمعالم الأرضية، وهي على النحو الآتي: MSS : المركب اللوني (4,2,1) لعام 1973 و 1984.

TM : المركب اللوني (3,5,7) لعام 1990.

$+ETM$: المركب اللوني (3,5,7) لعام 2000 و 2010. اللوحات (31,32,33,34).

الأقل ارتباطاً تخفف من تأثير زيادة التشابه في المعلومات المستخلصة منها وبالتالي تكون أكثر قدرة على الإمداد بمعلومات مختلفة عن معالم سطح الأرض المchorة⁽³²⁾.

ولاختيار أفضل تركيبة لونية مثل في المرئيات المتعددة الأطيف، قدم شافيز (chavez et al. 1982) طريقة معامل المؤشر الأفضل OIF (Optimum Index Factor) التالية:

$$OIF = \frac{\sum_{i=1}^n c}{\sum_{i=1}^n s}$$

حيث أن:

OIF =عامل لترتيب الأفضل

n = عدد القنوات المستخدمة

(المكونة للتوليفة)

C =معامل

correlation coeffi- لالرتباط (cient

(cient

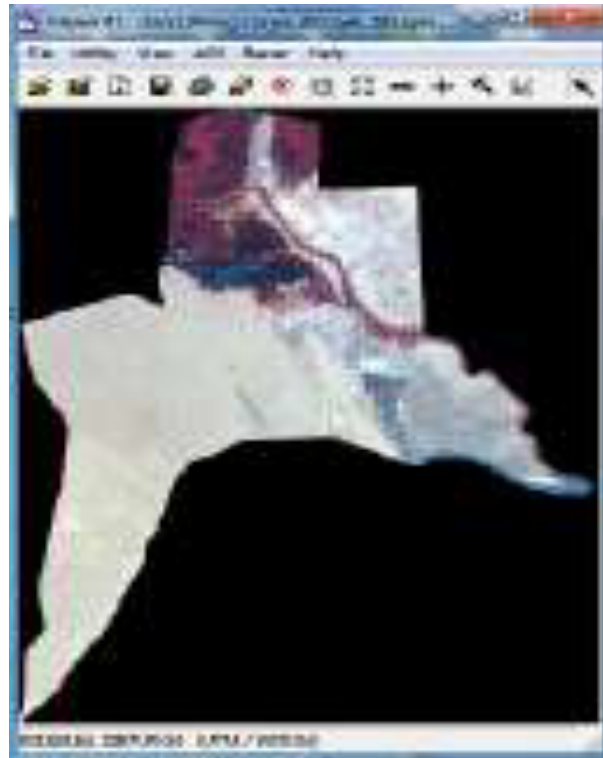
S =الانحراف

القياسي (standard deviation)

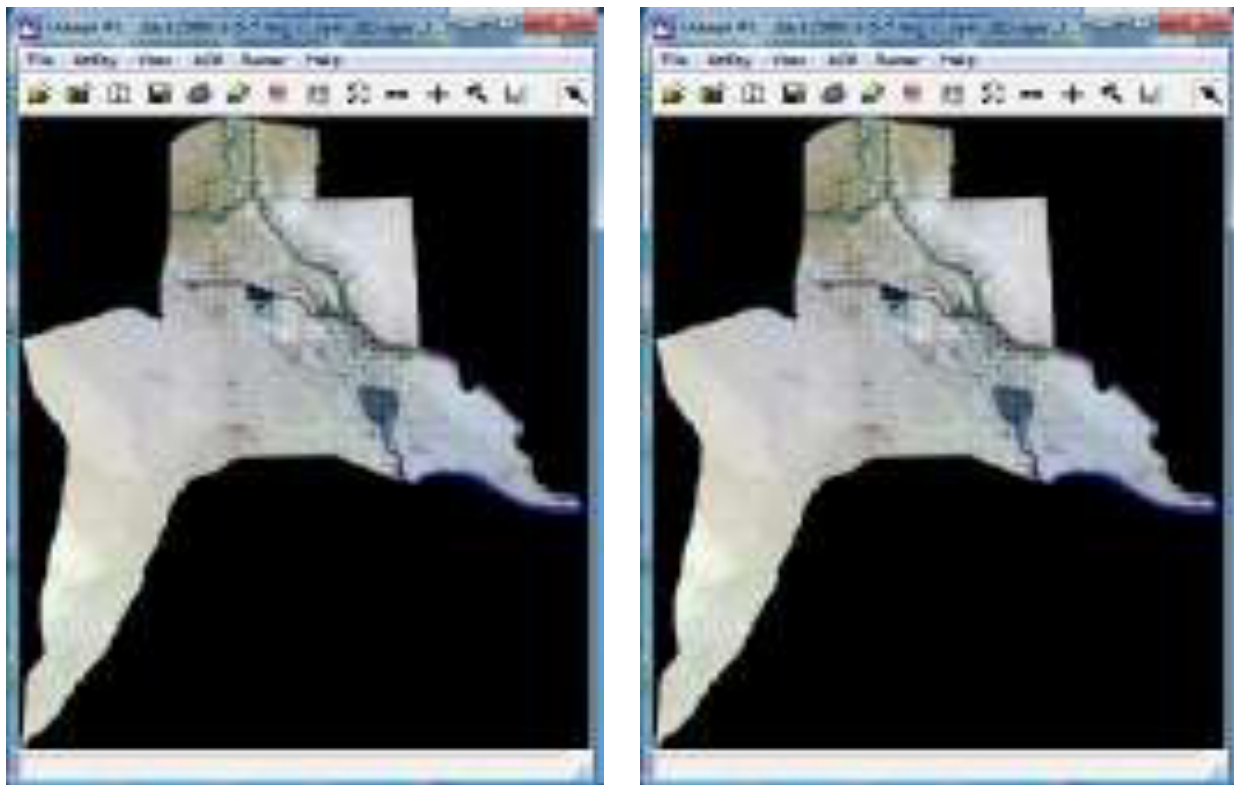
أن طريقة معامل المؤشر الأفضل OIF تستخدم كثيراً في الدراسات الجيولوجية والجيومورفولوجية لترتيب مرئيات مركبة الألوان التي تحتوي على أكبر قدر من المعلومات،



اللوحة(32) مرئية فضائية ملونه بالألوان الزائفة
لمنطقة الدراسة عام1990 مكونة من دمج القنوات
الطيفية(3,5,7)(للمتحسسTM) المحمول على متن
القمر الصناعي الأمريكي لاندست5-



اللوحة(31) مرئية فضائية ملونه بالألوان الزائفة
لمنطقة الدراسة عام1973 مكونة من دمج القنوات
الطيفية(1,2,4)(للمتحسسMSS) المحمول على
متن القمر الصناعي الأمريكي لاندست1-



اللوحة (34) مرئية فضائية ملونه بالألوان الزائفة
لمنطقة الدراسة عام 2010 مكونة من دمج القنوات
الطيفية (3,5,7) للمتحسس (ETM+) المحمول على
متن القمر الصناعي الأمريكي لاندستات 7-

اللوحة (33) مرئية فضائية ملونه بالألوان الزائفة
لمنطقة الدراسة عام 2000 مكونة من دمج القنوات
الطيفية (3,5,7) للمتحسس (ETM+) المحمول على
متن القمر الصناعي الأمريكي لاندستات 7-

مرئيات وفق معادلة رياضية تظهر المعالم الأرضية بشكل أفضل بطريقة الألوان الزائفة وذلك لزيادة التفسير البصري .

الاستنتاجات :

المصادر:

1 - أزهار عباس البلداوي، استخدام تقنية الاستشعار عن بعد في دراسة الترب المتأثرة بالأملاح، مجلة الاستشعار عن بعد، مجلة علمية تصدرها الهيئة العامة للاستشعار عن بعد في الجمهورية السورية، دمشق، العدد (14)، كانون الأول، 2002 .

2 - توماس.م. ليساند، راف، كifer، الاستشعار عن بعد وتفسير المرئيات، المنظمة العربية للتربية والثقافة والعلوم، المركز العربي للتعريب والترجمة والنشر والتأليف، ترجمة د. حسن حلمي خروفه، 1994 .

3 - حسن سوادي نجيبان الغزي، تغيرات الغطاء الأرضي لهور الحمار لمدة 1973 - 2008 باستخدام تقنيات الاستشعار عن بعد، أطروحة دكتوراه، غير منشورة، جامعة البصرة، كلية التربية، 2010 .

4 - حكمت صبحي الداغستانى، التحسين النائي ومعالجة المرئيات الفضائية،

1 - يعتبر التصحيح الهندسي للمرئيات الفضائية عنصراً أساسياً وفي حالة المقارنة بين الخرائط الرقمية والمرئيات الفضائية لسنوات مختلفة.

2 - إن عدم قطع منطقة الدراسة من المرئية سيؤثر على قيم الانعكاسية الطيفية والى سعة حجم المرئية المستخدمة مما له تأثير في سرعة عمل الحاسوب.

3 - زيادة التمييز بين معالم المرئية الفضائية يعتمد على الأسلوب المعتمد في تحسين المرئية الفضائية.

4 - يعتمد تحسين التباين في المرئية الفضائية على نوع القمر وكذلك العوامل الحضارية المؤثرة في إضعاف التباين في المرئية الفضائية وكذلك الأسلوب المتبوع في تحسين المرئية.

5 - سهل استخدام المرشحات الاتجاهية في منطقة الدراسة عملية تميز واضح لتفاصيل الأرض والأرض المحيطة بها بشكل جيد مما سهل عملية رسم الخرائط الموضوعية لمنطقة الدراسة.

6 - اعتمدت الدراسة على انتخاب

جامعة الموصل، 2004.

سوريا، حلب، 2011.

- 5 - رقية احمد محمد أمين العاني، دراسة تغيرات الغطاء الأرضي لمنطقة بلد باستخدام طرائق المعالجة الرقمية والتصنيف الآلي لمعطيات التحسس النائي، رسالة ماجستير، غير منشورة، جامعة تكريت، كلية الآداب، 2004.
- 6 - شريف فتحي الشافعي، أسس ومبادئ الاستشعار عن بعد، دار الكتب العلمية للنشر والتوزيع، القاهرة، 2009.
- 7 - عصمت محمد الحسن، معالجة بيانات الأقمار الصناعية رسم الخرائط، الدار العربية للنشر والتوزيع، الطبعة الأولى، القاهرة، 1992.
- 8 - علي بن إبراهيم العمran، مقدمة في الاستشعار عن بعد ومعالجة الصور رقمياً، دار وجوه للنشر والتوزيع، المملكة العربية السعودية، الرياض، الطبعة الأولى، 2012.
- 9 - عمر محمد الخليل، مبادئ الاستشعار عن بعد، شعاع للنشر والعلوم،
- 10 - محمد الخزامي عزيز، دراسات تطبيقية في نظم المعلومات الجغرافية، جامعة الكويت، كلية العلوم الاجتماعية، قسم الجغرافية، مطبعة دار العلم، الطبعه الأولى، 2007.
- 11 - محمد بن عبد الله بن محمد الصالح، معالجة صور الاستشعار عن بعد الرقمية باستخدام برنامج الويس Wies، جامعة الملك سعود، كلية الآداب - قسم الجغرافية، الرياض، 2010.
- 12 - محمد عبد الله الصالح، مرئية الاستشعار عن بعد جمع بياناتها وتحليلها، جامعة الملك سعود، كلية الآداب، مركز البحوث، الطبعة الأولى، 1992.
- 13 - محمد مصباح عاشور، الاستشعار عن بعد، أنسسه وتطبيقاته، كلية الآداب، 2006.
- 14 - نجم عبد الحسين نجم، استخدام تقنيات التحسس النائي وبعض الطرق الجيوфизياتية لدراسة الظاهرة الخلقيه عند الزاب الأسفل ودلائلها التكتونية، أطروحة دكتوراه، غير منشورة، جامعة بغداد، كلية العلوم، 1996.

- Kiefer. Remote Sensing and Image-interpretation. 2nd Ed. John Wiley and sons. U. S. A. 1987 .
- Paul M. Mather. Computer processing of Remotely – sensed Images An Introduction. third edition. John Wiley. 2004 .
- Petera Philip san. Environmental Applications of Aquatice Remote Sensing. Acta university sis upolicensis Uppsala. 2003 .
- Qihaoweng. Remote Sensing and Gis integration. McGraw – Hill U. S.A.2010 .
- S. AL – Morkedi Mansour and Hu guandage. using remote sensing data to improve geological Interpretation mapping in Heqing Area. north western yannan province. china Asia Journal of information technology vol.(4). 2007.
- Salem Aslch AL – amir. contrast stretching enhancement in remote sensing Image. department of Ali M. Qaid and Bas avarajappa. Application of optimum Index Factor technique to Land sate for geological mapping of northeast of Hajj ah. yemen. American – EurasiamJaurnal of scientific research 3(1). 2008 .
- Farhan AL – Juidi. ondrew C. Milling ton and suej. McLaren. merged remotely sensed data for geomrphologiecal Investigations in deserts. example form Central Saudi Arabi. the geographical Journal. vo.169. No2. June. 2003 .
- John.A. Richards. XiupingJia. Remote sensing Digital Image Analysis An introduction. 4th edition. A Sutralian national university. 2006 .
- John R. Jensen. Introductory Digital Image processing A remote sensing perspective. Pearson prentice hall. 2005 .
- Lillesand. Thomas M.Ralphw.

Abstract

Conclusion

Different attributes or features in the satellite images from those in the map, as they do not possess symbols denote identity. The images are recorded all the visual attributes that do not necessarily identify them easily. The images contain raw data does not become usable only after conducting digital image processing space through remote sensing technology, which is one of the advanced technologies used in satellite image processing. This technique has been used through the programs developed as a scientific tool effective in obtaining useful information and show the spatial features that were not visible in the raw images that do not grasp or human eye can distinguish..

computer scince, yes want collage, naded Bonito Sensor net work, volume 1, Issue 1, 2011 .

WWW. bio info.in / contents.php 2id: 301 .

- (3) Lillesand , Thomas M . , Ralph w .Kiefer , Remote Sensing and Image Interpretation , 2th Ed , John Wiley and Sons , USA , 1987 , P. 612 .
- (4) عمر محمد الخليل ، مبادئ الاستشعار عن بعد ، شعاع للنشر والعلوم ، سوريا – حلب ، 2011 ، ص 199 – 200 .
- (5) Petra Philip son , Environmental Applications of Aquatic remote Sensing university upsaliensis Uppsala , 2003 , p. 24 .
- (6) JohnA . Richards, xiuping Jia , Remote Sensing Digital Image Analysis An introduction 4th edition , Australian national university , 2006 , P. 83 .
- (7) Qihao weng , Remote Sensing and Gis Integration , McGraw – Hill U. S. A , 2010 , P.11 .
- (8) محمد مصباح عاشور ، الاستشعار عن بعد ، أنسسه وتطبيقاته ، كلية الأداب ، مصراته ، 2006 ، ص 54 .
- (9) رقية احمد محمد أمين العاني ، دراسة تغيرات الغطاء الأرضي لمنطقة بلد باستخدام طائق المعالجة الرقمية والتصنيف الآلي لمعطيات

The use of the method of treatment through the computer. enabling the interpreter to draw information more accurately than if you use the naked eye. As well as to the large amount of image data and information derived from them and the complexity of dealing with the storage and recall. processing and analysis. and the latter by the interpreter through the extraction of specific information on land cover changes to the province of Basra..

المواضيع

- (1) علي بن إبراهيم العمران, مقدمة في الاستشعار عن بعد ومعالجة الصور رقمياً، دار وجوه للنشر والتوزيع، المملكة العربية السعودية، الرياض، الطبعة الأولى، 2012، ص 49.
- (2) نجم عبد الحسين نجم ، استخدام تقنيات التحسس الثاني وبعض الطرق الجيوفизيائية لدراسة الظاهرة الحلقية عند الزاب الأسفل ودلائلها التكتونية ، أطروحة دكتوراه ، غير منشورة ، جامعة بغداد ، كلية العلوم ، 1996 ، ص 116 .

volume 1 , Issue 1 , 2011.

الموقع الالكتروني:

wib site : www . bioinfo .in / contents .

php?id = 301

(16) محمد بن عبد الله بن محمد الصالح ، معالجة صور الاستشعار عن بعد الرقمية باستخدام برنامج الويسILwis،جامعة الملك سعود، كلية الآداب، قسم الجغرافيا، الرياض، المملكة العربية السعودية،2010،ص40.

(17) عصمت محمد الحسن ، معالجة الصور الرقمية في الاستشعار عن بعد ، مركز البحوث كلية الهندسة ، جامعة الملك سعود ، 2007 ، ص 63 – 62

(18) علي بن إبراهيم العمران ، مصدر سابق، ص107.

* وللاستزادة ينظر أيضاً عصمت محمد الحسن ، مصدر سابق ، ص 63 – 64 .

(19) حسن سوادي نجيبان الغزي ، مصدر سابق ، ص 37 .

(20) توماس م. لليساند ، راف كifer ، الاستشعار عن بعد وتفسير المرئيات ، المنظمة العربية للتربية والثقافة والعلوم ، المركز العربي للترجمة والنشر والتأليف ، ترجمة د. حسن حلمي خروفه ، 1994 ، ص 840 .

(21) عمر محمد الخليل ، مصدر سابق ، ص 228

التحسسى النائي ، رسالة ماجستير ، غير منشورة ، جامعة تكريت ، كلية الآداب ، 2004 ، ص 39 – 38

(10) حسن سوادي نجيبان الغزي ، تغيرات الغطاء الأرضي لهور الحمار للمدة 1973 – 2008 باستخدام تقنيات الاستشعار عن بعد ، أطروحة دكتوراه ، غير منشورة ، جامعة البصرة ، كلية التربية ، قسم الجغرافية،2010 ، ص 36 .

(11) نجم عبد الحسين نجم ، المصدر السابق ، ص 118 .

(12) JohnR. Jensen , Introductory Digital Image processing A remote sensing perspective , Pearson prentice hall , 2005 , p. 266 .

(13) شريف فتحي الشافعي ، أسس ومبادئ الاستشعار عن بعد ، دار الكتب العلمية للنشر والتوزيع ، القاهرة ، 2009 ، ص 181 .

(14) John R. Jensen , Introductory Digital image processing , op. cit , p. 266.

(15) Salem saleh AL – amri , contrast stretching enhancement in remote sensing Image , department of computer Scince , yeshwant collage , nadedBioinfo Sensor networks ,

- Scan line Corrector malfunction , . 229 –
 Including input from scientists form the Usgs , Nasa , and the Land sat 7 Science te compiled and summarized by the staff of the U. S. Geological survey , eros Data center , Sioux falls , SD 16 July 2003 . website : www. Land sat ,usgs. gov / ... / SLC – off – Scientific – us ability .pdf.
- (29) أزهار عباس البلداوي ، استخدام تقنية الاستشعار عن بعد في دراسة الترب المتأثرة بالأملاح ، مجلة الاستشعار عن بعد ، مجلة علمية تصدرها الهيئة العامة للاستشعار عن بعد في الجمهورية العربية السورية ، دمشق العدد (14) ، كانون الأول ، 2002 ، ص 49 .
- (30) محمد بن عبد الله بن محمد الصالح ، مصدر سابق ، ص 86 .
- (31) عبد رب النبي محمد عبد الهادي ، معالجة بيانات الأقمار الصناعية ورسم الخرائط ، الدار العربية للنشر والتوزيع ، الطبعة الأولى ، القاهرة ، 1992 ، ص 89 .
- (32) حكمت صبحي الداغستانى ، مصدر سابق ، ص 460 .
- (33)Ali M. Qaid and Basavarajappa .
- (22) Paul M. Mather , Computer processing of Remotely – sensed Images An Introduction , third edition , John Wiley , 2004,P.104
- (23) محمد الخزامي عزيز ، دراسات تطبيقية في نظم المعلومات الجغرافية ، جامعة الكويت ، كلية العلوم الاجتماعية ، قسم الجغرافية ، مطبعة دار العلم ، الطبعة الأولى ، 2007 ، ص 124 .
- (24)Lillsand , Kiefer op. cit, p. 627 .
- (25) عصمت محمد الحسن ، مصدر سابق ، ص 82 .
- (26)http : // Land sat . Usgs .gov / using – Land sat – 7 – data . php .
 http://www . gis club . net/vb/showthread.php ?t = 5005 * للاستزادة ينظر الموقع
- (27)Pat Scramuzza , EsadMicijevic , GyaneshChander , SLC Gap – filled products phas one methodology 18/3/2004 website : http // Land sat . Usgs. gov/ tools – project documents . php – Technical Documentation (Land sat 7) .
- (28) Preliminary assessment of the valve of Land sat 7 ETM + Data following

الملخص :

أظهرت دراسات عدّة أن العالم سيشهد في الفترة القادمة تغيرات مناخية ستهز العالم على الصعيدين السياسي والاقتصادي حيث ستؤدي مشكلة تفاقم الاحترار العالمي إلى اختلاف بيني كبيرين دول ومدن العالم، وقد أولت كثير من هذه الدول سيمما المتقدمة منها اهتماماً كبيراً بهذه الظاهرة التي أخذت تتفاقم في السنوات الأخيرة، الامر الذي ادى ايضاً الى تعدد نظريات الباحثين حول تفسير هذه المشكلة او الظاهرة . وبالرغم من تعدد هذه النظريات والأسباب المتعلقة بهذه الظاهرة، إلا إن البحث قد ركز على الغازات الدفيئة المسبّبة لمشكلة الاحترار العالمي دون غيرها. أذ تناول البحث في طياته أضافة الى الغازات المسبّبة لهذه الظاهرة، مستويات انبعاثات هذه الغازات وتركيزاتها في المستقبل، والتغيرات المستقبلية في المناخ الاقليمي والعالمي، أذ ان التغيرات المناخية التي يمكن أن تحدث في المستقبل لا يمكن تجنبها ولكن يمكن التنبؤ بها ولو بصعوبة، وتطرقت الدراسة الى التأثيرات الاقليمية والعالمية للتغير المناخي. وقد خلصت الدراسة الى جملة من الاستنتاجات التي من اهمها ان

Application of optimum Index Factor technique to Land sat Data for geological mapping of north east of Hajjah , yemen , American – Eurasiam Journal of scientific research 3 (1) 2004 , p. 84 – 91.

(34)Farhan AL – Juaidi ,Andrew c. Millington and Suej . McLaren , merged remotely sensed data for geomorphological Investigations in deserts : example form central Saudi Arabi , the geographical Journal , vol. 169 , No 2, June 2003 , p. p. 117 – 130 .

(35) S. AL – Mokredimansour and Hu guangdao , using remote sensing data to improve geological Interpretation mapping in Heqing Area , north western , Yuman province , china , Asia Journal of information technology vol 6 (4) , 2007 , p. p. 445 – 401 .

زيادة الانبعاثات المستقبلية للغازات الدفيئة ترتبط بالنمو السكاني والتقديم التكنولوجي والنمو الاقتصادي وهيأكل الحكم القائمة في كثير من دول العالم المتقدم، ومع التقدم الصناعي والاعتماد على أنواع الوقود المختلفة تزايدت أنبعاثات غازات الدفيئة بكميات كبيرة تفوق حاجة الغلاف الجوي للحفاظ على درجة حرارة الأرض، أدت إلى أحداث تغيرات هائلة في مناخ الأرض تتفاوت بين الأعاصير وموسمات الجفاف وحرائق الغابات والفيضانات وموسمات الحر المهملة. والهدف من هذه الدراسة هو تسليط الضوء على واحدة من أهم المشاكل المناخية التي يعاني منها العالم والتي تفاقمت في الفترة الأخيرة وصراع المستمر بين الدول المتقدمة حول التوقيع على الاتفاقيات والمعاهدات الدولية للحد من انبعاث هذه الغازات، والتغيرات المستقبلية في المناخ الإقليمي العالمي والتأثيرات الإقليمية العالمية لتغيير المناخ، ومستويات انبعاثات الغازات الدفيئة وتركيباتها في المستقبل.